



УДК 550.388.2

Н. М. Кащенко

ЧИСЛЕННАЯ МОДЕЛЬ ПРОЦЕССОВ РАЗВИТИЯ МЕЛКОМАСШТАБНЫХ НЕОДНОРОДНОСТЕЙ ЭКВАТОРИАЛЬНОЙ ИОНОСФЕРЫ

Построена численная модель экваториального F-слоя ионосферы для моделирования неоднородностей ионосферы с масштабами от 1 км в условиях развития неустойчивости.

A numerical model of equatorial F-layer of ionosphere on simulating of ionosphere irregularities with object scale from 1 km during to the instability development is constructed.

31

Ключевые слова: численное моделирование, экваториальное F-рассеяние, схема «кабаре».

Key words: numerical simulation, equatorial spread F, «cabaret» scheme.

Введение

Экваториальное F-рассеяние (ЭФР) [1] — это послезаходное явление, когда экваториальная F-область ионосферы становится неустойчивой. Для понимания сложной и динамической эволюции ЭФР требуется численное моделирование. В 1989–1991 гг. в работах [2–5] и в 2008–2009 гг. в работах [6–8] были предложены численные модели и проведены численные эксперименты по динамике экваториальных пузырей в разных условиях и при различных механизмах их генерации.

В этих исследованиях изучаются процессы с масштабами порядка 20–50 км. В данной работе предложена в развитие моделей [2–5] численная модель, пригодная для изучения неоднородностей ионосферы с масштабами от 1 км.

Математическая модель

В соответствии с этими публикациями рассмотрим модель в виде общепринятой системы уравнений Максвелла и гидродинамических уравнений с учетом электромагнитных сил, содержащую уравнения непрерывности и уравнения движения ионов и электронов, уравнения теплопроводности ионов и электронов, уравнения непрерывности электрического тока и уравнения потенциальности электрического поля [2–5]:

$$\frac{\partial n_j}{\partial t} + \nabla(n_j \vec{V}_j) = Q_j - L_j,$$

$$\frac{\partial \vec{V}_j}{\partial t} + (\vec{V}_j \nabla) \vec{V}_j = -\frac{\nabla p_j}{n_j m_j} + \frac{e}{m_j} (\vec{E} + \vec{V}_j \times \vec{B}) - \nu_{jn} (\vec{V}_j - \vec{V}_n) + \vec{g},$$



$$\frac{3}{2}n_j k \left(\frac{\partial T_j}{\partial t} + (\vec{V}_j \nabla) T_j \right) + p_j \nabla \vec{V}_j + \nabla q_j = G_j - P_j,$$

$$\nabla \times \vec{E} = 0, \quad \vec{\nabla} \vec{j} \equiv \nabla \sum e_j n_j \vec{V}_j = 0,$$

где n_j , \vec{V}_j , Q_j , L_j , m_j , e_j , p_j , v_{jn} , T_j , q_j , G_j , P_j – соответственно концентрация, дрейфовая скорость, скорости образования и потерь, масса, заряд, давление, частоты соударений с нейтралами, температура, плотность теплового потока, скорость нагрева и скорость охлаждения частиц сорта j ; k – постоянная Больцмана; \vec{j} – плотность тока; \vec{E} – напряженность электрического поля.

32

В работе рассматривается модель развитых пузырей, поэтому применяются следующие приближения: квазинейтральность плазмы; постоянство и дипольность магнитного поля; потенциальность электрического поля; диффузионное приближение. Использована дипольная система координат.

В силу вытянутости неоднородностей вдоль силовых линий будем считать эти неоднородности двумерными и описывать их динамику в плоскости геомагнитного экватора двумерными уравнениями. Получаем двумерную модель развитых неоднородностей:

$$\frac{\partial n_j}{\partial t} + \nabla_{\perp} (n_j \vec{V}_j) = Q_j - L_j, \quad (1)$$

$$\frac{3}{2}n_j k \left(\frac{\partial T_j}{\partial t} + (\vec{V}_j \nabla_{\perp}) T_j \right) + p_j \nabla_{\perp} \vec{V}_j + \nabla_{\perp} q_j = G_j - P_j, \quad (2)$$

$$\nabla_{\perp} (\hat{\sigma} \nabla_{\perp} \Phi) = \nabla_{\perp} \vec{A}. \quad (3)$$

Здесь $\hat{\sigma}$ – тензор интегральной вдоль силовых линий проводимости.

В этом приближении уравнения (1) и (2) – уравнения двумерного переноса со свойством $\nabla_{\perp} (\vec{V}_j) \approx 0$, а уравнение (3) – уравнение эллиптического типа с несимметричным оператором из-за наличия проводимости Холла σ_H , поскольку в уравнении (3) проводимости Холла приводит к появлению производных 1-го порядка.

Начальные значения будем задавать, используя состояние фоновой плазмы, полученное в результате численных расчетов на установление на основе решения модельных уравнений непрерывности концентраций и теплопроводности при фиксированном электрическом поле и при применении модели термосферы MSIS для задания параметров нейтральной атмосферы. Кроме этого для тестирования алгоритмов начальные значения задавались в виде слоя Чепмена и в виде профилей типа ступеньки.

Для решения двумерного приближения использовалась прямоугольная равномерная конечно-разностная сетка в координатах (y, z) , где $y = r_{300}\Phi$, $z = r - r_3$, r_{300} – расстояние от центра Земли до уровня 300 км; r – расстояние от центра земли до текущей точки; r_3 – радиус



Земли. Уравнение (3) аппроксимировалось конечно-разностной схемой 2-го порядка точности и решалось итерационным методом на последовательности сеток. При коэффициентах, характерных для модели, скорость сходимости менялась в пределах от 0,45 до 0,55 при слабой зависимости от размеров сетки и вариаций коэффициентов, поэтому количество требуемых для достижения относительной погрешности равной 10^{-6} итераций находилось в пределах 10–15.

Для решения уравнений переноса (1), (2), записанных здесь в виде

$$\frac{\partial U}{\partial t} + V \frac{\partial U}{\partial y} + W \frac{\partial U}{\partial z} = 0,$$

применен двумерный аналог схемы «кабаре» [10–11], шаблон которой имеет вид, указанный на рисунке 1.

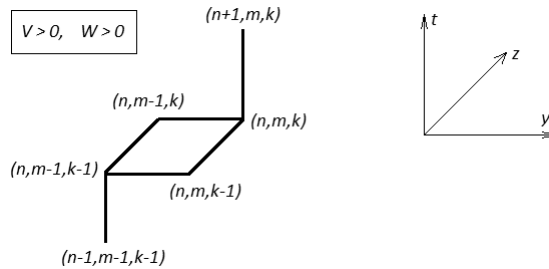


Рис. 1. Шаблон схемы «кабаре» для $V > 0, W > 0$ [10]

Обозначим

$$\sigma_y = \frac{\tau V}{h_y}, \sigma_z = \frac{\tau W}{h_z},$$

тогда двумерная схема выглядит так:

$$\begin{aligned} & \frac{1}{2} (\tau \dot{U}_{m,k}^{n-1/2} + \tau \dot{U}_{m-1,k-1}^{n-3/2}) + \frac{1}{2} (\sigma_y + \sigma_z) h (U'_h)_{m-1/2,k-1/2}^{n-1} + \\ & + \frac{1}{2} (\sigma_y - \sigma_z) h_y (U'_y)_{m-1/2,k}^{n-1} + \frac{1}{2} (\sigma_z - \sigma_y) h_z (U'_z)_{m,k-1/2}^{n-1} = 0. \end{aligned}$$

Здесь $h = \sqrt{h_y^2 + h_z^2}$ – диагональный шаг, V и W считаем в серединах ячеек.

Спектральный признак устойчивости при постоянных σ_y, σ_z приводит к условиям $\sigma_y, \sigma_z \in [0, 1]$.

Для получения монотонности использовался ограничитель, а для получения консервативности – схема управления запасами [10–11]. В отличие от работ [10–11] применен непрерывный ограничитель, вид которого для одномерного случая показан на рисунке 2. Использование такого ограничителя уменьшает погрешности типа ступеньки.

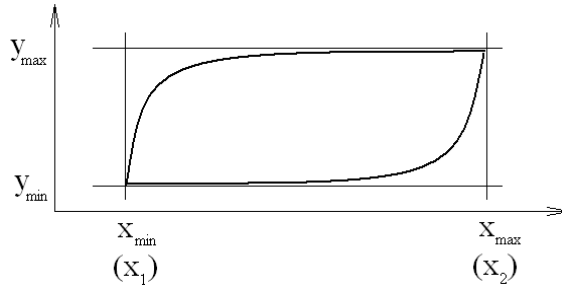


Рис. 2. Вид ограничителя для уравнений переноса

34

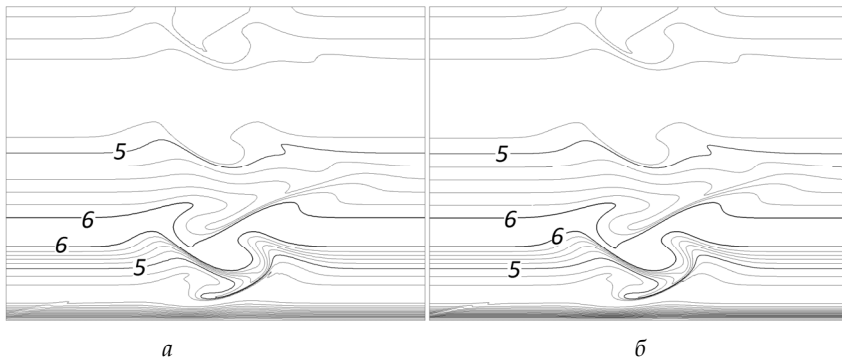
В численных экспериментах нижняя кривая задавалась формулой

$$\underline{y}(x) = \begin{cases} y_{\min} + (y_{\max} - y_{\min}) \left(\frac{x - x_1}{x_2 - x_1} \right)^p, & y_{\min} = y_1, \\ y_{\min} + (y_{\max} - y_{\min}) \left(\frac{x_2 - x}{x_2 - x_1} \right)^p, & y_{\min} = y_2. \end{cases}$$

Аналогично верхняя кривая была задана формулой

$$\bar{y}(x) = \begin{cases} y_{\max} + (y_{\min} - y_{\max}) \left(\frac{x - x_1}{x_2 - x_1} \right)^p, & y_{\min} = y_1, \\ y_{\max} + (y_{\min} - y_{\max}) \left(\frac{x_2 - x}{x_2 - x_1} \right)^p, & y_{\min} = y_2. \end{cases}$$

Параметр p должен выбираться достаточно большим. При тестировании использованы варианты с $p = 16, 32$ и 64 . На рисунке 3 приведены модельные расчеты по уравнениям (1) для электронной концентрации с шагом по z 4 км (А) и 2 км (Б) с одинаковыми числами Куранта, равными единице в своих максимумах. Область решения по горизонтали составляет 1000 км, а по вертикали диапазон 100–1600 км. Цифрами на рисунке отмечены значения $\lg(n_e)$. При этом в расчете (а) сделано 632 шага по времени, а в расчете (б) – 1264.


 Рис. 3. Модельные расчеты переноса электронной концентрации с шагом по z 4 км (а) и 2 км (б)



В этих расчетах применено начальное значение, полученное в результате решения на установление, а потенциал поля брался модельным, не зависящим от времени, с распределением, аналогичным по градиентам и характерным масштабам средней стадии процесса развития неустойчивости. Расчеты показали хорошие точностные характеристики предложенной модели и возможность использования ее при расчетах ионосферных пузырей с масштабами в пределах 1–50 км.

Список литературы

1. Ossakow S. L. Spread F theories: a review. *J. Atmos. Solar-Terr. Phys.* 1981. Vol. 43. P. 437.
2. Кащенко Н. М., Мацневский С. В., Никитин М. А. Исследования нелинейной стадии развития неустойчивости Рэлея-Гейлора в экваториальной F-области с учетом продольной диффузии и педерсеновской проводимости E-области // *Геомагнетизм и аэрномия.* 1989. Т. 29. С. 577–582.
3. Ерохин Н. С., Кащенко Н. М., Мацневский С. В. и др. Тепловой режим внутри ионосферных пузырей // *Космические исследования.* 1990. Т. 28, Вып. 1. С. 85–93.
4. Кащенко Н. М., Кшевцевский С. П., Мацневский С. В. и др. Резонансная генерация ионосферных пузырей внутренними гравитационными волнами // *Геомагнетизм и аэрномия.* 1990. Т. 30. С. 446–451.
5. Гайдюков В. Ю., Кащенко Н. М., Мацневский С. В. и др. Запуск экваториальных пузырей путем модификации E-слоя // *Геомагнетизм и аэрномия.* 1991. Т. 31. С. 1042–1048.
6. Huba J. D., Joyce G., Krall J. Three-dimensional equatorial spread F modeling. *Geophys. Res. Lett.* 2008. Vol. 35. P. L10102.
7. Huba J. D., Krall J., Joyce G. Atomic and molecular ion dynamics during equatorial spread F // *Geophys. Res. Lett.* 2009. Vol. 36. P. L10106.
8. Huba J. D., Krall J., Joyce G. Ion and electron temperature evolution during equatorial spread F // *Ibid.* P. L15102.
9. Кащенко Н. М., Мацневский С. В. Математическое моделирование неустойчивостей экваториального F-слоя ионосферы // *Вестник Калининградского государственного университета.* 2003. Вып. 3. С. 59–68.
10. Кострыкин С. В. Об одном варианте многомерного обобщения схемы «кабаре» // *Мат. моделир.* 2010. Т. 22, №2. С. 69–82.
11. Головизнин В. М., Самарский А. А. Нелинейная коррекция схемы «кабаре» // *Там же.* 1998. Т.10, №12. С. 107–123.

Об авторе

Николай Михайлович Кащенко – канд. физ.-мат. наук, доц., Балтийский федеральный университет им. И. Канта, Калининград.

E-mail: kaschtschenko@mail.ru

About the author

Dr Nikolay Kashchenko – Ass. Prof., I. Kant Baltic Federal University, Kaliningrad.

E-mail: kaschtschenko@mail.ru